

# Einführung in die Robotik

**Jianwei Zhang**  
zhang@informatik.uni-hamburg.de

**T | A**  
**M | S**  
Universität Hamburg  
Fakultät für Mathematik, Informatik und Naturwissenschaften  
Department Informatik  
Technische Aspekte Multimodaler Systeme

26. April 2011

# Gliederung (cont.)

Aufgabenbeschreibung  
Roboterprogrammierung auf drei Ebenen  
Trajektoriegenerierung  
Trajektoriengenerierung  
Einführung in RCCL  
Dynamik  
Roboterregelung  
Programmierung auf Aufgabenebene und Bahnplanung  
Programmierung auf Aufgabenebene und Bahnplanung  
Programmierung auf Aufgabenebene und Bahnplanung  
Architekturen sensorbasierter intelligenter Systeme  
Aus- und Rückblick

# Gliederung

Allgemeine Informationen  
Einführung  
Koordinaten eines Manipulators  
Kinematik-Gleichungen  
**Inverse Kinematik von Manipulatoren**  
Analytische Lösbarkeit eines Manipulators  
Beispiel 1: ein planarer dreigelenkiger Manipulator  
Algebraische Lösung des PUMA 560  
Die Lösung für RPY-Winkel  
Geometrische Lösung des PUMA 560  
Eine Programmierungsumgebung für Roboter unter UNIX: RCCL  
Differentielle Bewegungen mit homogenen Transformationen  
Jacobi-Matrix eines Manipulators

# Inverse Kinematik von Manipulatoren

## Die Problematik:

Roboter manipulatoren werden meistens im *Gelenkwinkelraum* gesteuert.

Zu handhabende Objekte werden aber meistens im Weltkoordinatensystem dargestellt.

Um einen bestimmten Tool-Frame  $T$  bezüglich des Welt-Frames zu erreichen, werden die Gelenkwinkel  $\theta(t) = (\theta_1(t), \theta_2(t), \dots, \theta_n(t))^T$  in folgenden zwei Schritten berechnet:

1. Berechne  $T_6 = Z^{-1}BGE^{-1}$ ;
2. Berechne  $\theta_1, \theta_2, \dots, \theta_n$  aus  $T_6$ .

⇒: inverse Kinematik, sogar wichtiger als direkte Kinematik

## Lösbarkeit am Beispiel PUMA 560

$$T_6 = T' T'' = \begin{bmatrix} n_x & s_x & a_x & p_x \\ n_y & s_y & a_y & p_y \\ n_z & s_z & a_z & p_z \\ 0 & 0 & 0 & 1 \end{bmatrix}$$

wobei

## Lösbarkeit am Beispiel PUMA 560

$$n_x = C_1[C_{23}(C_4 C_5 C_6 - S_4 S_6) - S_{23} S_5 C_6] - S_1(S_4 C_5 C_6 + C_4 S_6) \quad (2)$$

$$n_y = S_1[C_{23}(C_4 C_5 C_6 - S_4 S_6 - S_{23} S_5 S_6) + C_1(S_4 C_5 C_6 + C_4 S_6)] \quad (3)$$

$$n_z = -S_{23}[C_4 C_5 C_6 - S_4 S_6] - C_{23} S_5 C_6 \quad (4)$$

$$s_x = \dots \quad (5)$$

$$s_y = \dots \quad (6)$$

$$s_z = \dots \quad (7)$$

$$a_x = \dots \quad (8)$$

$$a_y = \dots \quad (9)$$

$$a_z = \dots \quad (10)$$

## Lösbarkeit am Beispiel PUMA 560

$$p_x = C_1[d_6(C_{23} C_4 S_5 + S_{23} C_5) + S_{23} d_4 + a_3 C_{23} + a_2 C_2] - S_1(d_6 S_4 S_5 + d_2) \quad (11)$$

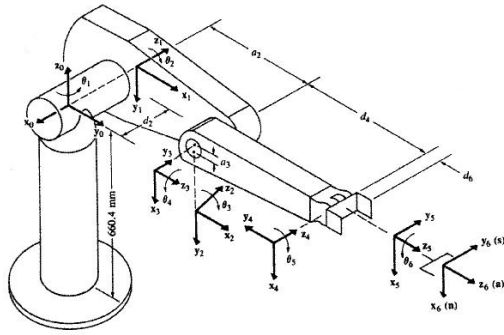
$$p_y = S_1[d_6(C_{23} C_4 S_5 + S_{23} C_5) + S_{23} d_4 + a_3 C_{23} + a_2 C_2] + C_1(d_6 S_4 S_5 + d_2) \quad (12)$$

$$p_z = d_6(C_{23} C_5 - S_{23} C_4 S_5) + C_{23} d_4 - a_3 S_{23} - a_2 S_2 \quad (13)$$

## Anmerkung

- ▶ Nicht lineare Gleichungen
- ▶ Existenz der Lösungen:  
Arbeitsraum ("workspace"): das Volumen des Raums wo der End-Effektor des Manipulators erreichen kann.
  - ▶ "dextrous workspace"
  - ▶ "reachable workspace"
- ▶ Mehrere Gelenkstellungen, die zur gleichen Effektorstellung führen Z.B. für PUMA 560:
  - ▶ Mehrdeutigkeiten der Lösung  $\theta_1, \theta_2, \theta_3$  zu gegebenen  $\mathbf{p}$ .
  - ▶ Für jede Lösung  $\theta_4, \theta_5, \theta_6$ , eine alternative Lösung ist:

## Anmerkung



$$\theta'_4 = \theta_4 + 180^\circ$$

$$\theta'_5 = -\theta_5$$

$$\theta'_6 = \theta_6 + 180^\circ$$

- Lösungsstrategien: geschlossene Lösungen vs. numerische Lösungen

## Lösungsmethoden

Geschlossene Form:

- algebraische Lösung
  - + : korrekte Lösungen aus Gleichungen
  - : geometrisch nicht anschaulich
- geometrische Lösung
  - + : Fallunterscheidung der Roboter-Konfigurationen
  - : Robotertypen-spezifisch

Numerische Form:

- iterative Verfahren
  - + : Verfahren übertragbar
  - : rechenintensiv, nicht garantierte Konvergenz bei Sonderfällen

## Lösungsmethoden

"Die inverse Kinematik aller Systeme mit 6 translatorischen und rotatorischen Freiheitsgraden in einer einfachen seriellen Kette ist numerisch lösbar."

## Analytische Lösbarkeit eines Manipulators

Unter bestimmten Voraussetzungen an die Armgeometrie (ausreichende Bedingungen) existieren die geschlossenen Lösungen:

- Entweder: 3 aufeinanderfolgende Achsen schneiden sich in einem Punkt
- Oder: 3 aufeinanderfolgende Achsen sind parallel

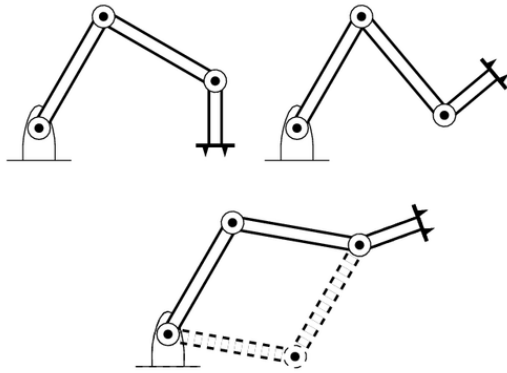
Es ist wichtig, einen Manipulator so zu entwerfen, daß eine Lösung in der geschlossenen Form existiert.

So sind fast alle Industrieroboter entworfen.

Beispiel PUMA:

Die Achsen 4, 5 und 6 schneiden sich.

## Beispiel 1: ein planarer dreigelenkiger Manipulator



## Beispiel 1: ein planarer dreigelenkiger Manipulator

Gelenk	$\alpha_{i-1}$	$a_{i-1}$	$d_i$	$\theta_i$
1	0	0	0	$\theta_1$
2	0	$l_1$	0	$\theta_2$
3	0	$l_2$	0	$\theta_3$

$${}^0T_3 = \begin{bmatrix} C_{123} & -S_{123} & 0 & l_1 C_1 + l_2 C_{12} \\ S_{123} & C_{123} & 0 & l_1 S_1 + l_2 S_{12} \\ 0 & 0 & 1 & 0 \\ 0 & 0 & 0 & 1 \end{bmatrix}$$

## Die algebraische Lösung des Beispiel 1 - I

Spezifikation des End-Effektors:  $(x, y, \phi)$ . Für einen solchen Vektor gilt es dann:

$${}^0T_3 = \begin{bmatrix} C_\phi & -S_\phi & 0 & x \\ S_\phi & C_\phi & 0 & y \\ 0 & 0 & 1 & 0 \\ 0 & 0 & 0 & 1 \end{bmatrix}$$

Wir bekommen vier Gleichungen:

$$C_\phi = C_{123} \quad (14)$$

$$S_\phi = S_{123} \quad (15)$$

$$x = l_1 C_1 + l_2 C_{12} \quad (16)$$

$$y = l_1 S_1 + l_2 S_{12} \quad (17)$$

## Die algebraische Lösung des Beispiel 1 - II

(Ableitung)

Eine spezielle Funktion  $atan2$  wird definiert:

$$\theta = atan2(y, x) = \begin{cases} 0 & \text{für } x = 0, y = 0 \\ \pi/2 & \text{für } x = 0, y > 0 \\ 3 * \pi/2 & \text{für } x = 0, y < 0 \\ atan(y, x) & \text{für } +x \text{ and } +y \\ 2\pi - atan(y, x) & \text{für } +x \text{ und } -y \\ \pi - atan(y, x) & \text{für } -x \text{ und } +y \\ \pi + atan(y, x) & \text{für } -x \text{ und } -y \end{cases}$$

Die Lösungen:

$$\theta_2 = atan2(S_2, C_2)$$

## Die algebraische Lösung des Beispiel 1 - II

wobei  $S_2 = \pm \sqrt{1 - C_2^2}$ , und  $C_2 = \frac{x^2 + y^2 - l_1^2 - l_2^2}{2l_1 l_2}$ .

$$\theta_1 = \text{atan2}(y, x) - \text{atan2}(k_2, k_1)$$

wobei  $k_1 = l_1 + l_2 C_2$  und  $k_2 = l_2 S_2$ .

$\theta_3$  kann aus der folgenden Gleichung berechnet werden:

$$\theta_1 + \theta_2 + \theta_3 = \text{atan2}(S_\phi, C_\phi) = \phi$$

## Algebraische Lösung mit Hilfe v. Konvertierung in Polynomen

Um transzendente Gleichungen in polynomische Gleichungen zu konvertieren, können die folgenden Substitutionen verwendet werden:

$$u = \tan \frac{\theta}{2}$$

$$\cos \theta = \frac{1 - u^2}{1 + u^2}$$

$$\sin \theta = \frac{2u}{1 + u^2}$$

## Die geometrische Lösung des Beispiel 1 - I

Berechne  $\theta_2$  über "Gesetz des Cosinus":

$$x^2 + y^2 = l_1^2 + l_2^2 - 2l_1 l_2 \cos(180 + \theta_2)$$

Die Lösung:

$$\theta_2 = \pm \cos^{-1} \frac{x^2 + y^2 - l_1^2 - l_2^2}{2l_1 l_2}$$

$$\theta_1 = \beta \pm \psi$$

wobei gilt:

$$\beta = \text{atan2}(y, x), \quad \cos \psi = \frac{x^2 + y^2 - l_1^2 - l_2^2}{2l_1 \sqrt{x^2 + y^2}}$$

Für  $\theta_1, \theta_2, \theta_3$  gilt:

$$\theta_1 + \theta_2 + \theta_3 = \phi$$

## Algebraische Lösung mit Hilfe v. Konvertierung in Polynomen

Beispiel:

Wir haben eine transzendente Gleichung:

$$a \cos \theta + b \sin \theta = c$$

Nach der Konvertierung:

$$a(1 - u^2) + 2bu = c(1 + u^2)$$

Die Lösung von  $u$ :

$$u = \frac{b \pm \sqrt{b^2 - a^2 - c^2}}{a + c}$$

Dann:

$$\theta = 2 \tan^{-1} \left( \frac{b \pm \sqrt{b^2 - a^2 - c^2}}{a + c} \right)$$

## Algebraische Lösung des PUMA 560 - I

### Berechnung von $\theta_1, \theta_2, \theta_3$ :

Die ersten drei Gelenkwinkel  $\theta_1, \theta_2, \theta_3$  bestimmen die Position des Manipulator-Endpunktes  $(p_x, p_y, p_z)^T$  (im Fall  $d_6 = 0$ ).

$$p_x = C_1[S_{23}d_4 + a_3C_{23} + a_2C_2] - S_1d_2 \quad (18)$$

$$p_y = S_1[S_{23}d_4 + a_3C_{23} + a_2C_2] + C_1d_2 \quad (19)$$

$$p_z = C_{23}d_4 - a_3S_{23} - a_2S_2 \quad (20)$$

Daraus ergibt sich:

$$\theta_1 = \tan^{-1}\left(\frac{\mp p_y \sqrt{p_x^2 + p_y^2 - d_2^2} - p_x d_2}{\mp p_x \sqrt{p_x^2 + p_y^2 - d_2^2} + p_y d_2}\right)$$

## Algebraische Lösung des PUMA 560 - II

$$\theta_3 = \tan^{-1}\left(\frac{\mp A_3 \sqrt{A_3^2 + B_3^2 - D_3^2} + B_3 D_3}{\mp B_3 \sqrt{A_3^2 + B_3^2 - D_3^2} + A_3 D_3}\right)$$

wobei

$$A_3 = 2a_2a_3$$

$$B_3 = 2a_2d_4$$

$$D_3 = p_x^2 + p_y^2 + p_z^2 - a_2^2 - a_3^2 - d_2^2 - d_4^2$$

## Algebraische Lösung des PUMA 560 - II

und

$$\theta_2 = \tan^{-1}\left(\frac{\mp B_2 \sqrt{p_x^2 + p_y^2 - d_2^2} + A_2 p_z}{\mp A_2 \sqrt{p_x^2 + p_y^2 - d_2^2} + B_2 p_z}\right)$$

wobei

$$A_2 = d_4 C_3 - a_3 S_3$$

$$B_2 = -a_3 C_3 - d_4 S_3 - a_2$$

## Die Lösung für RPY-Winkel

(RPY: *Roll, Pitch, Yaw*)

$$T = R_{z,\phi} R_{y,\theta} R_{x,\psi}$$

Wir lösen die folgende Gleichung:

$$R_{z,\phi}^{-1} T = R_{y,\theta} R_{x,\psi}$$

$$\begin{bmatrix} f_{11}(\mathbf{n}) & f_{11}(\mathbf{o}) & f_{11}(\mathbf{a}) & 0 \\ f_{12}(\mathbf{n}) & f_{12}(\mathbf{o}) & f_{12}(\mathbf{a}) & 0 \\ f_{13}(\mathbf{n}) & f_{13}(\mathbf{o}) & f_{13}(\mathbf{a}) & 0 \\ 0 & 0 & 0 & 1 \end{bmatrix} = \begin{bmatrix} C\theta & S\theta S\psi & S\theta C\psi & 0 \\ 0 & C\psi & -S\psi & 0 \\ -S\theta & C\theta S\psi & C\theta C\psi & 0 \\ 0 & 0 & 0 & 1 \end{bmatrix}$$

wobei

## Die Lösung für RPY-Winkel

$$\begin{aligned} f_{11} &= C\phi x + S\phi y \\ f_{12} &= -S\psi x + C\phi y \\ f_{13} &= z \end{aligned}$$

Die Gleichung mit  $f_{12}(\mathbf{n})$  führt:

$$-S\phi n_x + C\phi n_y = 0$$

⇒:

$$\phi = \text{atan2}(n_y, n_x)$$

und

$$\phi = \phi + 180^\circ$$

Die Gleichungen mit dem Element 1,3 und 1,1 sind jeweils:

$$-S\theta = n_z$$

## Die Lösung für RPY-Winkel

und

$$C\theta = C\phi n_x + S\phi n_y$$

⇒:

$$\theta = \text{atan2}(-n_z, C\phi n_x + S\phi a_y)$$

Die Gleichungen mit dem Element 2,3 und 2,2 sind jeweils:

$$-S\psi = -S\phi a_x + C\phi a_y$$

$$C\psi = -S\phi o_x + C\phi o_y$$

⇒:

$$\psi = \text{atan2}(S\phi a_x - C\phi a_y, -S\phi o_x + C\phi o_y)$$

## Geometrische Lösung des PUMA 560 - I

### Definition von verschiedenen Arm-Konfigurationen:

Für Schulter:

RIGHT-arm, LEFT-arm

Für Ellbogen:

ABOVE-arm, BELOW-arm

Für Handgelenk:

WRIST-DOWN, WRIST-UP

Darauf basierend werden die folgenden Anzeige-Variablen definiert:

$$ARM = \begin{cases} +1 & \text{RIGHT-arm} \\ -1 & \text{LEFT-arm} \end{cases}$$

## Geometrische Lösung des PUMA 560 - I

$$ELBOW = \begin{cases} +1 & \text{ABOVE-arm} \\ -1 & \text{BELOW-arm} \end{cases}$$

$$WRIST = \begin{cases} +1 & \text{WRIST-DOWN} \\ -1 & \text{WRIST-UP} \end{cases}$$

Die gesamte Lösung der inversen Kinematik wird über Analyse solcher Arm-Konfiguration erzielt.

## Probleme bei der Entwicklung von Steuerungssoftware

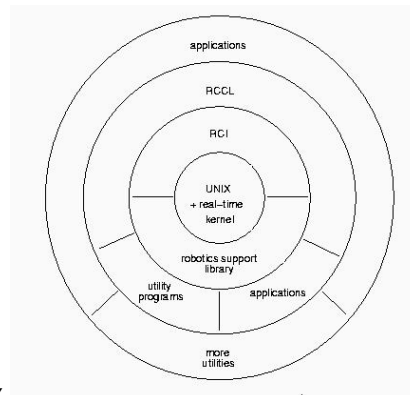
- ▶ Bisher war die Entwicklung von Steuerungssoftware an einem bestimmten Robotertyp gekoppelt.
- ▶ Jede Maschine hatte damit ihre eigene spezielle Software, die genau die Fähigkeit dieser Baureihe ausnutzte.
- ▶ ⇒ Erweiterbarkeit und Portierbarkeit war damit eine langwierige und schwierige Aufgabe.

## Probleme bei der Entwicklung von Steuerungssoftware

Es steht der Bedarf, eine allgemeine Steuerungssoftware zu entwickeln, die folgende Ziele erfüllen soll:

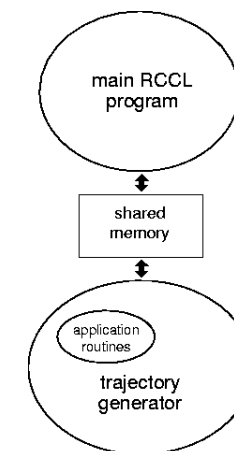
- ▶ Steuerungsmöglichkeiten für Low-Level Eigenschaften der Hardware;
- ▶ größtmögliche Portierbarkeit auf die verschiedenen Plattformen;
- ▶ eine möglichst große Mächtigkeit zur flexiblen und schnellen Erstellung von Anwendungen in derselben Sprache, in der die Steuerungssoftware geschrieben wurde.

## Eine Programmierumgebung für Roboter unter UNIX: RCCL



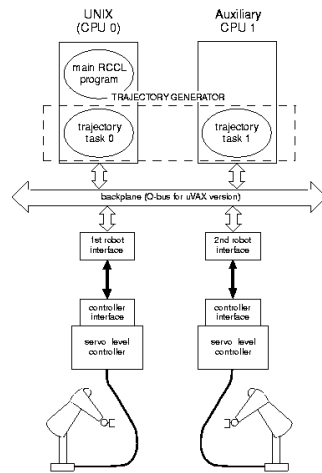
RCCL: *Robot Control C Library*

## Die Systemarchitektur

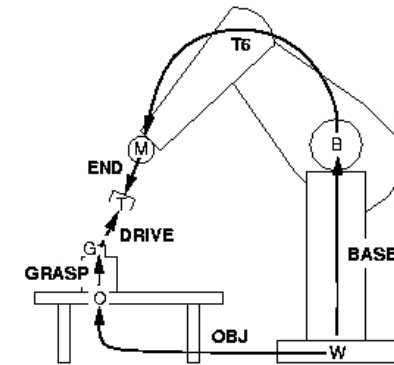




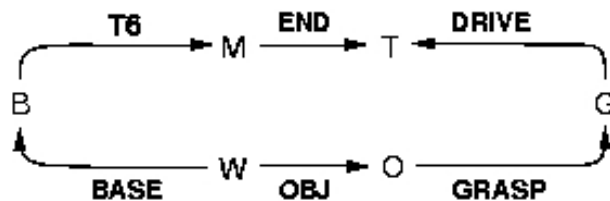
## Steuerung von mehreren Robotern



## Beschreibung von Bewegungen mit Hilfe der Positionsgleichungen



## Beschreibung von Bewegungen mit Hilfe der Positionsgleichungen



## Ein Beispiel - Programm

```
#include <rccl.h>
#include "manex.560.h"

main()
{
    TRSF_PTR p, t;
    POS_PTR pos;
    MANIP *mnp;
    JNTS rcclpark;
    char *robotName;

    rcclSetOptions (RCCL_ERROR_EXIT);
    robotName = getDefaultRobot();
    if (!getRobotPosition (rcclpark.v, "rcclpark", robotName))
    { printf (''position 'rcclpark' not defined for robot\n'');
      exit(-1);
    }

    t = allocTransXyz ("T", UNDEF, -300.0, 0.0, 75.0);
    p = allocTransRot ("P", UNDEF, P_X, P_Y, P_Z, xunit, 180.0);
    pos = makePosition ("pos", T6, EQ, p, t, NULL);
}
```

## Ein Beispiel - Programm

```

    mnp = rcclCreate (robotName, 0);           /*#10*/
    rcclStart();

    movej (mnp, &rcclpark);                   /*#11*/

    setMod (mnp, 'c');                        /*#12*/
    move (mnp, pos);                          /*#13*/
    stop (mnp, 1000.0);

    movej (mnp, &rcclpark);                   /*#14*/
    stop (mnp, 1000.0);

    waitForCompleted (mnp);                  /*#15*/
    rcclRelease (YES);                        /*#16*/
}

```

## Ein Beispiel - Roboterbewegungen

